



## БИООРГАНИЧЕСКАЯ ХИМИЯ

mom4 \* № 6 \* 1978

УДК 547.458.418 : 543.422.23 + 577.41

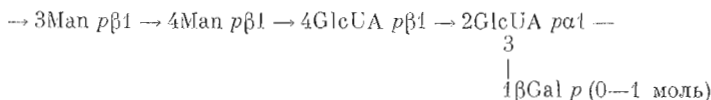
## ПОЛИСАХАРИДЫ LIPOMYCES

## 7\*. УСТАНОВЛЕНИЕ СТРОЕНИЯ ВНЕКЛЕТОЧНЫХ ПОЛИСАХАРИДОВ, ПРОДУЦИРУЕМЫХ *LIPOMYCES TETRASPORUS*

*Шашков А.С., Свиридов А.Ф., Горин С.Е.,  
Джекия О.Д., Чижов О.С., Гуллышев Н.,  
Кочетков Н.Б.*

*Институт органической химии им. Н. Д. Зелинского  
Академии наук СССР, Москва*

Методами химического анализа и спектроскопии  $^{13}\text{C}$ -ЯМР установлено полное строение внеклеточных полисахаридов, продуцируемых *Lipomyces tetrasporus*. В основе их структуры лежит повторяющееся звено из двух остатков *D*-маннозы и двух остатков *D*-глюкуроновой кислоты. К части последних присоединены ответвления из единичных остатков *D*-галактозы.

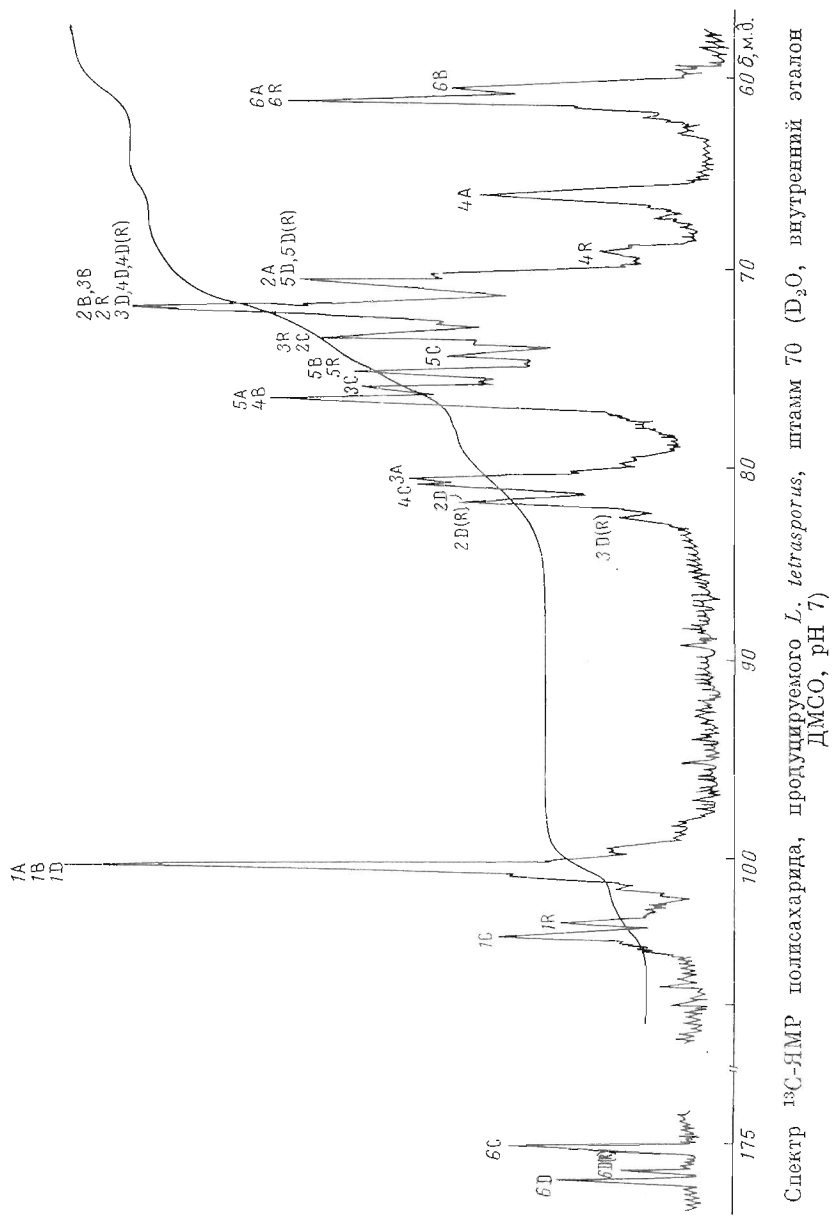


Внеклеточные полисахариды, продуцируемые различными штаммами *Lipomyces tetrasporus*, содержат D-глюкуроновую кислоту, D-маннозу и D-галактозу [2]; если соотношение первых двух моносахаридов для всех изученных 11 штаммов постоянно и примерно равно 1 : 1, то количество D-галактозы колеблется от 0 (штамм 416) до 0,5 моль на моль Man (штамм 421). Сходство спектров  $^{13}\text{C}$ -ЯМР этих полисахаридов говорит о близости их химического строения. Данная работа посвящена установлению строения полисахаридов, продуцируемых упомянутой выше группой микроорганизмов химическими методами и с помощью  $^{13}\text{C}$ -ЯМР-спектроскопии.

Спектр  $^{13}\text{C}$ -ЯМР полисахарида *L. tetrasporus*, штамм 70\*\*, типичного для данной группы микроорганизмов (содержит 0,2 моль *D*-галактозы на моль Man), представлен на рисунке. Спектры полисахаридов, продуцируемых другими штаммами, отличаются от приведенного спектра лишь отсутствием или интенсивностью отдельных линий и поэтому здесь не приводятся. Как видно из рисунка, в спектрах  $^{13}\text{C}$ -ЯМР полисахаридов в области резонанса атомов C-1 имеются три сигнала (100,5; 103,3 и 104,0 м.д.). Интенсивность пика при 103,3 м.д. пропорциональна содержанию *D*-галактозы, а его химический сдвиг позволяет заключить, что остатки этого моносахарида имеют  $\beta$ -*D*-конфигурацию [4]. Соотношение интенсивностей линий при 100,5 и 104,0 м.д. остается неизменным от спектра к спектру и составляет приблизительно 3 : 1. Из сопоставления этого факта с при-

\* Сообщение 6 см. [1].

\*\* Данные о частичной структуре этого полисахарида см. в работе [3].



Спектр  $^{13}\text{C}$ -НМР полисахарида, пролуцируемого *L. tetrasporus*, штамм 70 ( $\text{D}_2\text{O}$ , внутренний эталон ДМСО, рН 7)

веденными выше данными о моносахаридном составе изучаемых полисахаридов вытекает, что все они должны содержать по крайней мере по два неравноценных остатка *D*-глюкуроновой кислоты, которым по аналогии с данными для *D*-глюкозы [5] следует приписать  $\beta$ -*D*- (104,0 м.д.) и  $\alpha$ -*D*-конфигурацию (100,5 м.д.).

Этот вывод подтверждается рассмотрением низкопольной части спектра, где резонируют углеродные атомы карбоксильных групп. При отсутствии *D*-галактозы в полисахаридах (штаммы 383 и 416) здесь наблюдаются два сигнала при 175,3 и 176,8 м.д. В спектрах полисахаридов, содержащих *D*-галактозу, в этой области имеется линия при 176,5 м.д., интенсивность которой растет по мере увеличения содержания *D*-галактозы, тогда как интенсивность линии 176,8 м.д. падает. Отсюда можно предположить, что *D*-галактоза соединена с одним из звеньев *D*-глюкуроновой кислоты и именно ее присутствие вызывает смещение сигнала атома С-6 тех остатков, с которыми она связана. Это согласуется с химическими данными [3].

Анализ спектра в области высоких полей показывает, что в полисахаридах *L. tetrasporus* должно быть не меньше двух неравноценных остатков *D*-маннозы со свободными гидроксильными группами при С-6, поскольку для полисахаридов, не содержащих *D*-галактозы (штаммы 383 и 416), имеются два различных сигнала для атомов С-6 при 61,7 и 61,1 м.д. Однако оба *D*-маннозных остатка должны иметь  $\beta$ -*D*-конфигурацию [1] и свободные гидроксильные группы при С-2, так как при  $\alpha$ -конфигурации маннозидных связей должен был бы появиться сигнал около 101,5 м.д. [6], а замещение при С-2 для  $\alpha$ -конфигурации маннозидной связи должно было бы привести к сдвигу сигнала аномерного атома углерода до значений порядка 100,0 м.д. [4, 7], тогда как на самом деле в спектре имеется единственный острый пик при 100,5 м.д. приблизительно утроенной интенсивности. Соотношения интегральных интенсивностей линий С-4 (66,5 м.д.) и С-6 в спектрах полисахаридов штаммов 383 и 416 близки к 1 : 2. Значит, только один из маннозных остатков может иметь свободную гидроксильную группу при С-4. Отсюда следует, что один из остатков *D*-маннозы замещен по С-4, а другой — по С-3.

Таким образом, предварительный анализ спектров  $^{13}\text{C}$ -ЯМР позволяет установить размер и состав повторяющегося звена полисахаридов, продуцируемых *L. tetrasporus* (4—5 моносахаридов, два остатка *D*-маннозы, два остатка *D*-глюкуроновой кислоты и 0—1 моль *D*-галактозы), а также определить конфигурацию гликозидных связей каждого из моносахаридных остатков, характер замещения в звеньях *D*-маннозы и тот полисахарид, с которым связаны остатки *D*-галактозы.

Приведенные выше данные о структуре внекласточных полисахаридов, продуцируемых этой группой липомицетов, были дополнены и подтверждены химическими методами. При метанолизе метилированных полисахаридов во всех случаях были идентифицированы метил-2,3,6- (I) и метил-2,4,6-три-О-метил-*D*-маннопиранозиды (II) в отношении, примерно равном 1 : 1. С появлением в полисахаридах *D*-галактозы в метанолизатах их метилированных производных появляется метил-2,3,4,6-тетра-О-метил-*D*-галактоширанозид (III), содержание которого пропорционально количеству *D*-галактозы и достигает 1 моль по отношению к содержанию моносахарида (I) или (II) для полимера, продуцируемого штаммом 421. Эти данные подтверждают вывод о наличии во всех полисахаридах, продуцируемых *L. tetrasporus*, двух неравноценных остатков *D*-маннопиранозы и показывают, что остатки *D*-галактоширанозы находятся в разветвлениях.

При анализе ацетатов частично метилированных полиолов, полученных путем гидролиза, восстановления  $\text{NaBD}_4$  и последующего ацетилирования О-метилового эфира восстановленного полисахарида методом хромато-масс-спектрометрии, были идентифицированы соединения, перечисленные в табл. 1. Идентификация полиолов (IV) — (X) окончательно

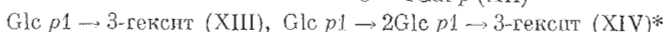
Таблица 1

1-О-дэтерпированные полиолы, идентифицированные в продуктах гидролиза О-метиловых эфиров восстановленных полисахаридов из *L. tetrasporus*

Полиолы	Соотношение полиолов для штаммов		
	416	70	421
2,3,4,6-Тетра-О-метил-1,5-ди-О-ацетил-D-дульцит (IV)	0	0,20	0,9
2,3,4,6-Тетра-О-метил-1,5-ди-О-ацетил-D-маннит (V)	0,1	0,1	0,1
2,3,6-Три-О-метил-1,4,5-три-О-ацетил-D-сорбит (VI)	0,9	0,9	0,85
2,3,6-Три-О-метил-1,4,5-три-О-ацетил-D-маннит (VII)	1,0	1,0	1,0
2,4,6-Три-О-метил-1,3,5-три-О-ацетил-D-маннит (VIII)	1,0	1,0	0,9
3,4,6-Три-О-метил-1,2,5-три-О-ацетил-D-сорбит (IX)	0,85	0,7	0,05
4,6-Ди-О-метил-1,2,3,5-тетра-О-ацетил-D-сорбит (X)	0	0,2	0,85

устанавливает положение гликозидных связей между моносахаридными остатками в полисахаридах, продуцируемыми *L. tetrasporus*. В частности, эти данные показывают, что один из остатков D-глюкуроновой кислоты связан по C-4, другой — по C-2 и/или по C-2 и C-3.

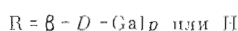
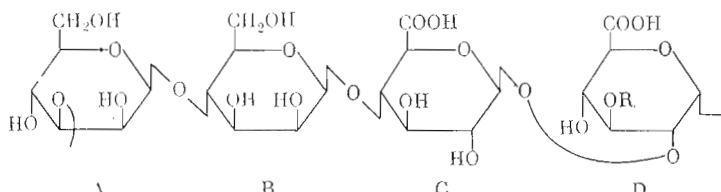
Последовательность моносахаридных остатков была установлена на примере полисахарида, продуцируемого штаммом 70, и вытекает из выделения соответствующих олигосахаридов при окислении ацетата восстановленного полисахарида ангидридом хромовой кислоты, для которых ранее [3] была установлена структура



В связи с этим, однако, существенно отметить следующее. Выделение олигосахаридов (XI), (XII) и (XIV) при окислении ацетата восстановленного полисахарида из *L. tetrasporus* (штамм 70) ангидридом хромовой кислоты, по установленному мнению [8, 9], говорит о том, что неокислившиеся гликозидные связи между моносахаридными остатками должны иметь  $\alpha$ -D-конфигурацию, что противоречит предварительному анализу спектров  $^{13}\text{C}$ -ЯМР, приведенному выше. Поэтому мы провели более тщательное исследование реакции окисления ацетатов полисахаридов этой группы липомицетов ангидридом хромовой кислоты, широко применяемой сейчас для определения конфигураций гликозидных связей. Оказалось, что если окисление в уксусной кислоте проводить двукратно или более длительное время, чем рекомендуется в работах [8, 9], или в уксусном ангидриде, то из полисахаридов, продуцируемых *L. tetrasporus* (штаммы 70 и 421), образуется только олигосахарид (XIII). Из этого вытекает, что в полисахаридах *L. tetrasporus* только один остаток D-глюкуроновой кислоты (несущий разветвление по C-2 и C-3) имеет  $\alpha$ -D-конфигурацию, остальные моносахариды связаны  $\beta$ -D-связями, что подтверждается приведенным выше анализом спектров  $^{13}\text{C}$ -ЯМР. Таким образом, к выводам о конфигурации гликозидных связей, полученных при помощи окисления ангидридом хромовой кислоты, следует относиться с определенной осторожностью.

На основании химических данных, приведенных в этой статье и опубликованных ранее [3], и учитывая анализ спектров  $^{13}\text{C}$ -ЯМР для полисахаридов, продуцируемых *L. tetrasporus*, можно предложить следующую структуру:

\* При щелочном распаде или по реакции Гофмана из О-метилового эфира полисахарида был выделен метил-2,3,6-три-О-метил-4-O-(2,4,6-три-О-метил- $\beta$ -D-маннопиранозил)-D-маннопиранозид (XV) [3].



С установлением полного строения полисахаридов, продуцируемых *L. tetrasporus*, появилась возможность более детального анализа спектров  $^{13}\text{C}$ -ЯМР, в частности отнесение сигналов в области резонанса неаномерных атомов углерода. Такой анализ мог бы иметь в дальнейшем существенное значение для определения структуры близких полисахаридов, продуцируемых другими видами липомицетов, с помощью спектроскопии  $^{13}\text{C}$ -ЯМР.

В табл. 2 приведены данные по отнесению линий в спектрах этих полисахаридов. Сигналы звеньев А и В отнесены по аналогии с полисахаридом из *Lipomyces lipofer* [1]. Линии  $\beta$ -D-галактопиранозного остатка ( $R$ ) и С-3 в звене D идентифицированы по изменению их интенсивности с изменением содержания D-галактозы в полисахаридах из различных штаммов и отнесены путем сравнения со спектром  $\beta$ -метил-D-галактопиранозида. Результаты, как видно из табл. 2, еще раз подтверждают  $\beta$ -D-конфигурацию галактопиранозного остатка.

Наконец, для отнесения сигналов звеньев С, Д и D(R) в условиях, идентичных условиям измерения спектров полисахаридов, были сняты спектры модельных соединений, перечисленных в табл. 3. Поскольку дисахариды (XVI) и (XVII) содержат первичную спиртовую группу вместо карбоксильной, для сравнения с химическими сдвигами атомов углерода звеньев С и D вводились поправки, учитывающие влияние такой замены на химические сдвиги. Величины поправок взяты из работы [4]. Для соединения (XVIII) поправки на влияние замены карбоксильной группы на метоксикарбонильную не вводились (ср. [4]).

Менее однозначно отнесение сигналов атомов углерода, связанных гликозидной связью (С-4 в звене С и С-2 в звене D). Приписывая им значения химических сдвигов, приведенные в табл. 2, мы исходили из того, что углеродный атом С-4 звена С в полисахариде из *L. lipofer* [1] имеет резонансную линию при 81,4 м.д. в нейтральной среде. Различие в конфигурации гликозидных связей в этом звене ( $\alpha$ -конфигурация [1]) и звене С в полисахариде из *L. tetrasporus* ( $\beta$ -конфигурация), по-видимому, не имеет существенного значения (ср. химические сдвиги атома С-4 в метил- $\alpha$ - и  $\beta$ -целлюзидах [5]).

Следует отметить, что химические сдвиги некоторых линий спектра полисахаридов *L. tetrasporus* заметно зависят от pH среды. Поскольку в литературе имеются указания на возможность идентификации линий от D-глюкуроновой кислоты по смещению их химических сдвигов в высокое поле при переходе от нейтральной к кислой среде [10], мы намеревались использовать это обстоятельство для дополнительного подтверждения правильности отнесения, данного в табл. 2. Однако уже исследование зависимости химических сдвигов от pH среды для пизкомолекулярных моделей (XVIII) и (XIX) показало, что определенной закономерности в смещении сигналов атомов углерода нет даже для этих соединений. Так, для кислоты (XVIII) при переходе от pH 7 к pH 2 наблюдается высокопольный сдвиг для С-5 (1,4 м.д.) и С-6 (3 м.д.), для кислоты (XIX) — лишь сдвиг в высокое поле атома углерода С-6 (изменение для других атомов углерода в обоих соединениях не превышает 0,3 м.д.).

В полисахаридах, продуцируемых *L. tetrasporus*, наибольшие изменения при подкислении растворов до pH 2 претерпевают химические сдвиги

Таблица 2

Отнесение сигналов атомов углерода в спектре  $^{13}\text{C}$ -ЯМР полисахарида, продуцируемого *L. tetrasporus*, штамм 70  
 $\delta$ , м. д., рН 7,  $\text{D}_2\text{O}$ , внутренний стандарт ДМСО

Атом углерода	Моносахаридный остаток					
	A	B	C	D *	D(R) *	R *
1	100,5	100,5	104,0 (104,1)	100,5	100,5	103,3
2	70,9	72,2 (71,9)	73,7 (73,3)	82,1 (82,7)	82,1 (82,7)	72,0 (71,6)
3	80,9 (80,7) **	72,2 (71,9)	76,4 (76,8)	72,2 (71,7)	82,9 (82,7)	73,6 (73,4)
4	66,5 (66,2)	76,9	81,2 (80,2)	72,2 (71,7)	72,1 (71,7)	69,4 (69,2)
5	76,9	75,6	74,7 (74,3)	70,9 (70,8)	70,8 (70,65)	75,6 (75,5)
6	61,7	61,1 (61,25)	175,3 (172,1)	176,8 (173,1)	176,5 (172,6)	61,7 (61,5)

\* Звено D ( $R = \text{H}$ ); звено D(R):  $R = \beta\text{-D-Gal p}$ ; звено R:  $\beta\text{-D-Gal p}$ .

\*\* В скобках даны химические сдвиги атомов углерода при рН 2.

Таблица 3

Спектры  $^{13}\text{C}$ -ЯМР некоторых модельных соединений ( $\delta$ , м. д.)

Атом углерода	$\beta$ -Фенилбизоид (XVI) *	Расчетные значения для звена C **	$\alpha$ -Метил-софорозид (XVII) *	Расчетные значения для звена D **	Метил- $\alpha$ -метил-2-О-метил-D-глюкопиранозидуронат [11] *	Метил- $\alpha$ -метил-2,3-ди-O-метил-D-глюкопиранозидуронат [11] ***	$\beta$ -Метил-D-галактопиранозид *
1	100,8	—	99,5	99,5	97,8	98,2	104,5
2	73,45	73,05	80,9	80,3	80,5	81,0	71,4
3	75,6	75,2	72,65	72,25	72,4	82,0	73,45
4	79,2	80,7	70,2	72,1	72,0	71,8	69,3
5	74,9	73,6	71,9	71,1	71,5	70,85	75,75
6	60,7	—	61,4	—	172,3	170,8	61,6
1'	103,3	(103,3)	104,3	—	—	—	—
2'	73,9	—	73,9	—	—	—	—
3'	76,7	—	76,4	—	—	—	—
4'	70,2	—	70,2	—	—	—	—
5'	76,3	—	76,3	—	—	—	—
6'	61,4	—	61,4	—	—	—	—

\* Раствор в  $\text{D}_2\text{O}$ , рН 7.

\*\* Введена поправка, обусловленная заменой первичной спиртовой группы на карбоксильную [4].

\*\*\* Раствор в  $\text{CDCl}_3$ .

неаномерных атомов углерода, связанных гликозидной связью (см. табл. 2), причем направления смещения химических сдвигов для C-4 в звенах C и C-2 в звене D имеют противоположный характер, положение сигнала C-5 в звене C не изменяется, сигнал C-3 смещается в низкое поле.

Как видно, зависимость химических сдвигов атомов углерода в остатках D-глюкуроновой кислоты при изменении рН среды имеет сложный характер и не может служить критерием для идентификации линий спектра. Важно, однако, отметить, что такая зависимость существует и, следовательно, при описании и сопоставлении спектров различных полисахаридов рН среды должен указываться в качестве необходимого параметра условий съемки.

### Экспериментальная часть

Исследованы полисахариды, продуцируемые 11 штаммами *L. tetrasporus*, полученными из коллекции кафедры биологии почв МГУ (штаммы 70, 72, 218, 302, 309, 322, 357, 383, 385, 416 и 421). Метод выделения из культуральной жидкости и очистки полисахаридов описан в работе [12]. Восстановление полисахаридов дибораном проводили по методу [43], метилирование полисахаридов — по методу Хакомори [14], формолиз,

тидролиз, восстановление  $\text{NaBD}_4$ , ацетилирование и хромато-масс-спектрометрический анализ — по стандартным методам. Полученные данные представлены в табл. 1. Окисление ацетата восстановленного полисахарида из *L. tetrasporus* (штамм 421) в уксусной ангидриде проводили аналогично [3].

Масс-спектры снимали на приборе Varian MAT 111 «Gnom», спектры  $^{13}\text{C}$ -ЯМР — на приборе WR-60 «Bruker» с рабочей частотой по углероду 15,08 МГц (импульсный режим с последующим фурье-преобразованием). Полисахариды исследовались в виде 3%-ных растворов в  $\text{D}_2\text{O}$ . Химический сдвиг ДМСО (внутренний эталон) относительно ТМС был определен в специальном эксперименте ( $+39,45$  м.д.), химические сдвиги всех линий пересчитаны к ТМС (δ-шкала). Для стандартизации условий съемки спектров pH среды поддерживали на уровне 8—9 добавлением раствора  $\text{NaOH}$ , а при съемке в кислой среде эти растворы обрабатывали катионитом КУ-2 ( $\text{H}^+$ -форма). Температура съемки  $50^\circ$ . Для получения нормального спектра в таких условиях оказалось достаточным накопление 25 000—50 000 сигналов свободной индукции. Специальная проверка показала, что относительные интегральные интенсивности линий (включая линию от карбоксильной группы) не изменяются при варьировании интервала между 90-градусными импульсами от 0,5 до 2 с. Спектры сняты при интервале между импульсами, равном времени сбора данных (1,1 с) при масштабе 100 Гц/см.

*Окисление ацетата восстановленного полисахарида L. tetrasporus (штамм 70) в уксусной кислоте (двойное).* Ацетат восстановленного полисахарида (0,1 г) и ангидрид хромовой кислоты (0,3 г) в 5 мл абсолютной уксусной кислоты, перемешивая, нагревали 1,5 ч при  $50^\circ$ . Затем реакционную смесь разбавляли водой, нейтрализовали  $\text{CaCO}_3$ , экстрагировали хлороформом и упаривали. Половину полученного вещества обрабатывали 1 н. раствором метилата натрия в метаноле при комнатной температуре. Смесь обрабатывали катионитом КУ-2 ( $\text{H}^+$ -форма) и упаривали. Остаток гидролизовали 7 ч 2 н.  $\text{H}_2\text{SO}_4$  при  $100^\circ$ , нейтрализовали  $\text{BaCO}_3$ , отфильтровывали, восстанавливали  $\text{NaBH}_4$  и после обычной обработки ацетилировали. Полученные ацетаты полиолов исследовали методом ГЖХ на колонке ECN SS-3M.

Вторую половину окисленного полисахарида восстанавливали  $\text{NaBH}_4$  и после ацетилирования вновь окисляли в тех же условиях. После аналогичной описанному выше обработки смесь ацетатов полиолов исследовали методом ГЖХ. По данным ГЖХ-анализа, соотношение ацетатов полиолов в исходном полисахариде и окисленных образцах остается практически неизменным.

## ЛИТЕРАТУРА

1. Шашков А. С., Гудлыев Н., Свиридов А. Ф., Горин С. Е., Чижов О. С., Кочетков Н. К. (1977) Биоорганская химия, 3, 1028—1033.
2. Горин С. Е., Свиридов А. Ф., Бабьева И. П., Чижов О. С. (1974) Микробиология, 43, 666—671.
3. Кочетков Н. К., Чижов О. С., Свиридов А. Ф., Горин С. Е., Бабьева И. П. (1975) Изв. АН СССР. Сер. хим., 2774—2781.
4. Gorin P. A. J., Mazurek M. (1975) Can. J. Chem., 53, 1212—1223.
5. Usui T., Yamaoka N., Matsuda K., Tuzimura K., Sigiya H., Seto S. (1973) J. Chem. Soc., Perkin I, 2425—2432.
6. Voelter W., Breitmaier E. (1973) Org. Magn. Reson., 5, 311—318.
7. Gorin P. A. J. (1974) Can. J. Chem., 52, 458—461; (1975) Carbohydr. Res., 39, 3—10.
8. Hoffman J., Lindberg B., Svensson S. (1972) Acta chem. scand., 26, 661—667.
9. Lindberg B., Lonngren J., Svensson S. (1975) Advan. Carbohydr. Chem. and Biochem., 31, 185—240.
10. Colson P., Jennings H. J., Smith I. C. P. (1974) J. Amer. Chem. Soc., 96, 8081—8087.
11. Shashkov A. S., Sviridov A. F., Chizhov O. S., Kovac P. (1978) Carbohydr. Res., 60, in press.

12. Кочетков Н. К., Горин С. Е., Свиридов А. Ф., Чижов О. С., Голубев В. И., Бабьева И. А., Поделько А. Я. (1973) Изв. АН СССР. Сер. хим., 2304—2310.  
13. Manning I. H., Green I. N. (1967) J. Chem. Soc. (C), 2357—2363.  
14. Hakomori S. (1964) J. Biochem., 55, 205—208.

Поступила в редакцию  
10.XII.1977

POLYSACCHARIDES FROM LIPOMYCES. 7. STRUCTURE DETERMINATION OF EXTRACELLULAR POLYSACCHARIDES FROM *LIPOMYCES TETRASPORUS*

SHASHKOV A. S., SVIRIDOV A. F., GORIN S. E.,  
ЖИКИА О. Д., ЧИЖОВ О. С., ГУЛЛИЕВ Н., КОЧЕТКОВ Н. К.

*N. D. Zelinsky Institute of Organic Chemistry, Academy of Sciences of the USSR, Moscow*

The total structure of the extracellular polysaccharides from *Lipomyces tetrasporus* has been determined using the chemical analysis and  $^{13}\text{C}$ -NMR spectroscopy. The principal structural feature is a repeat unit consisting of two *D*-mannose and two *D*-glucuronic acid residues. Some of the latter are branched, bearing *D*-galactose residues.

